WYNIKI CIĄGŁYCH POMIARÓW HAŁASU W ŚRODOWISKU

DLA LOTNISKA CHOPINA W WARSZAWIE

Nazwa obiektu: Punkt pomiarowy nr 2 "Piaseczno"

Data wykonania pomiaru:

początek: 01 - 11 - 2023 koniec: 30 - 11 - 2023

Lokalizacja punktu pomiarowego: Piaseczno, ul. Tadeusza Kościuszki 5

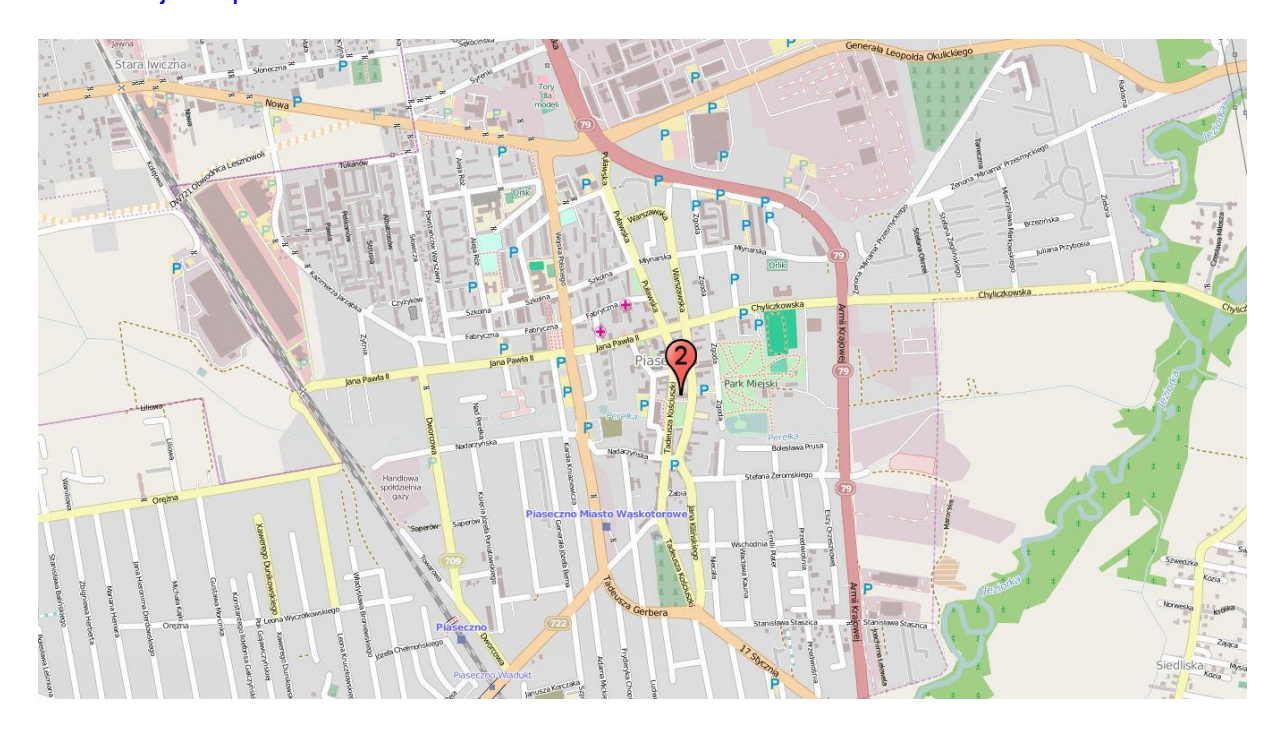
Układ współrzędnych: WGS 84

Szerokość geograficzna: N 52° 04' 25,3"

Długość geograficzna: E 21° 01' 39,5"

Względna wysokość punktu pomiarowego [m]: 18

Lokalizacja na planie:



Metoda badań:

Metoda ciągłych lub okresowych pomiarów monitoringowych: metodyka referencyjna, określona w załączniku nr 1 do rozporządzenia Ministra Środowiska z dnia 16.06.2011 w sprawie wymagań w zakresie prowadzenia pomiarów poziomów substancji lub energii w środowisku przez zarządzającego droga, linią kolejową, linia tramwajową, lotniskiem, portem.

Metody obliczeniowe: jw.

Aparatura pomiarowa:

Analizator poziomu dźwięku (producent; nr typu): Lochard, EMU-2 Mikrofon/sonda mikrofonowa (producent; nr typu): Lochard, 41DM-2

Świadectwo uwierzytelnienia nr 00025778/02/2021 z dnia 11.05.2021 r. wydane przez Laboratorium

Akredytowane Nr AP 146

Wzorzec akustyczny (producent; nr typu): Brüel & Kjær; 4228

Równoważny poziom dźwięku w porze dnia i w porze nocy w odniesieniu do jednej doby, wg wskaźników L_{AeqD} i L_{AeqN} powodowany przez starty, lądowania i przeloty statków powietrznych

Dzień miesiąca/	Równoważny poziom dźwięku			
Listopad 2023 r.	Pora dnia L _{AeqD} w dB	Pora nocy L _{AeqN} w dB		
1	30,4	34,4		
2	41,9	40,1		
3	43,1	38,3		
4	41,8	0,0		
5	41,5	40,5		
6	38,0	38,6		
7	0,0	41,1		
8	0,0	32,4		
9	35,3	40,1		
10	38,9	38,6		
11	37,2	30,1		
12	29,0	40,7		
13	29,3	38,2		
14	35,7	33,9		
15	25,4	39,0		
16	32,3	41,5		
17	42,8	43,1		
18	40,6	0,0		
19	42,4	34,4		
20	34,7	38,1		
21	38,7	34,4		
22	32,9	40,7		
23	44,2	39,0		
24	40,3	28,5		
25	0,0	28,5		
26	29,4	34,0		
27	0,0	0,0		
28	35,7	37,1		
29	25,0	34,4		
30	31,6	35,2		

Zgodnie z art. 112a ustawy – Prawo ochrony środowiska oraz rozporządzeniem Ministra Środowiska z dnia 16 czerwca 2011 r. *w sprawie wymagań w zakresie prowadzenia pomiarów poziomów substancji lub energii w środowisku przez zarządzającego drogą, linią kolejową, linią tramwajową, lotniskiem lub portem,* do ustalania i kontroli warunków korzystania ze środowiska mają zastosowanie wskaźniki hałasu odnoszące się do jednej doby:

- L_{AeqD} równoważny poziom dźwięku A dla pory dnia (rozumianej jako przedział czasu od godz. 6.00 do godz. 22.00),
- L_{AeqN} równoważny poziom dźwięku A dla pory nocy (rozumianej jako przedział czasu od godz. 22.00 do godz. 6.00).

Wyznaczone wartości tych wskaźników dla poszczególnych dni i nocy w listopadzie 2023 podano w tabeli powyżej.

W tabelach poniżej podano zestawienia zdarzeń akustycznych zarejestrowanych w punkcie pomiarowym, na podstawie których wyznaczono wartości wskaźników L_{AeqD} i L_{AeqN} dla poszczególnych dni i nocy w miesiącu.

Zestawienie zdarzeń akustycznych spowodowanych przelotami statków powietrznych w porze dnia (przedział czasu pomiędzy godz. 06.00 – 22.00)

Nr punktu				L _{Aeq}	L _{Amax}	L _{AE}
pomiarowego	Data i godz. zdarzenia	Samolot	Operacja*	[dB]	[dB]	[dB]
2	01-11-2023 15:50:33	A321	Α	70,8	72,7	81,6
2	02-11-2023 10:31:01	B738	D	71,2	73,8	85,0
2	02-11-2023 14:32:58	B77W	D	72,1	74,9	84,6
2	02-11-2023 15:06:27	A320	D	70,9	73,4	83,4
2	02-11-2023 17:54:49	B789	D	70,2	71,5	79,8
2	02-11-2023 20:15:03	A321	D	70,6	72,2	84,2
2	02-11-2023 21:05:17	E195	D	70,6	73,5	82,1
2	03-11-2023 08:33:17	B738	D	70,6	73,1	80,1
2	03-11-2023 09:30:11	B738	D	71,0	74,1	83,6
2	03-11-2023 11:45:58	E195	D	68,8	70,9	79,6
2	03-11-2023 17:56:06	B789	D	70,6	71,8	82,3
2	03-11-2023 19:58:41	A321	D	70,1	72,3	81,9
2	03-11-2023 20:46:38	E195	D	68,2	70,3	80,5
2	03-11-2023 21:35:27	E190	D	66,9	69,1	77,3
2	04-11-2023 10:38:35	E75S	D	68,9	69,8	78,9
2	04-11-2023 12:52:50	B753	D	69,7	71,6	81,4
2	04-11-2023 13:46:42	E75S	D	68,9	70,5	79,3
2	04-11-2023 14:30:09	B738	D	68,8	70,8	80,0
2	04-11-2023 15:07:03	E190	D	70,6	72,4	80,2
2	04-11-2023 15:14:21	E195	D	70,5	71,3	80,9
2	04-11-2023 20:52:29	E195	D	68,8	70,3	78,8
2	05-11-2023 08:03:25	B38M	D	69,7	71,0	80,5
2	05-11-2023 15:18:54	E195	D	69,5	70,8	80,0
2	05-11-2023 15:28:55	B789	D	70,8	72,8	83,1
2	05-11-2023 20:52:35	B77L	D	71,0	74,8	85,2
2	05-11-2023 20:57:24	E170	D	68,0	69,8	78,0
2	06-11-2023 07:16:18	A21N	Α	68,5	71,5	78,0
2	06-11-2023 09:30:39	E190	Α	69,7	73,0	81,7
2	06-11-2023 11:44:23	A321	Α	69,2	71,7	78,7
2	06-11-2023 11:57:10	B738	Α	70,4	74,6	83,1
2	06-11-2023 12:05:50	B38M	Α	74,4	78,9	86,5
2	06-11-2023 12:28:41	B788	А	70,6	73,6	82,1
2	06-11-2023 12:30:39	A339	Α	71,1	74,8	81,9
2	06-11-2023 12:36:13	E170	Α	68,6	70,1	77,7
2	06-11-2023 12:43:14	B738	Α	78,3	83,8	89,5
2	06-11-2023 12:49:31	E170	Α	72,0	75,9	82,0
2	06-11-2023 16:32:18	A320	Α	70,5	75,4	82,8
2	06-11-2023 17:03:26	A321	Α	71,8	72,9	81,3
2	07-11-2023 10:58:15	E195	Α	73,6	76,5	84,7
2	07-11-2023 17:58:54	CRJ9	Α	69,2	70,7	80,7
2	09-11-2023 08:14:27	B38M	D	71,5	72,5	82,6
2	09-11-2023 21:45:09	B734	D	68,6	69,9	79,4
2	10-11-2023 06:37:44	B38M	D	69,1	75,0	80,3
2	10-11-2023 12:40:50	B753	D	71,3	73,2	81,7
2	10-11-2023 15:07:42	E75S	D	69,8	71,7	80,9
2	10-11-2023 15:58:18	E195	D	72,0	74,1	83,7
2	11-11-2023 09:19:18	B738	D	72,0	74,3	84,3
2	11-11-2023 12:47:12	A321	Α	78,0	81,4	88,0
2	11-11-2023 18:42:54	B738	Α	70,9	77,4	82,9
2	11-11-2023 20:58:25	E75S	Α	75	80,1	86,2
2	11-11-2023 21:19:47	E195	Α	66,8	68,2	76,8
2	12-11-2023 18:26:53	B77L	Α	67,1	68,3	76,6
2	13-11-2023 13:47:33	E195	Α	79,9	87,6	94,2

Nr punktu				L _{Aeq}	L _{Amax}	L _{AE}
pomiarowego	Data i godz. zdarzenia	Samolot	Operacja*	[dB]	[dB]	[dB]
2	13-11-2023 15:35:49	B738	A	79,1	88,9	94,9
2	13-11-2023 18:58:10	E170	A	83,2	93,1	97,4
2	14-11-2023 10:49:35	E170	A	68,7	69,9	77,7
2	14-11-2023 14:09:54	E195	A	69,2	71,7	78,2
2	14-11-2023 15:34:30	E75S	A	73	77,4	83,4
2	14-11-2023 15:48:28	E170	A	71,7	75,2	82,5
2	14-11-2023 17:10:10	A321	A	70,6	75,7	83,2
2	14-11-2023 18:56:22	E190	A	67,5	71,2	77
2	14-11-2023 20:23:45	A21N	A	67,2	70,1	77,6
2	14-11-2023 20:53:32	E195	A	70,3	74,5	82,6
2	15-11-2023 18:49:49	E170	A	71,3	74,1	83,3
2	15-11-2023 18:54:16	B38M	A	74,1	79,8	87,8
2	15-11-2023 21:17:34	B753	A	66,5	68,4	75,5
2	16-11-2023 09:34:57	E195	A	79,9	88,7	93,7
2	16-11-2023 12:37:42	E195	A	80,2	89,2	94,7
2	16-11-2023 15:27:01	E170	D	69,9	70,7	79,0
2	17-11-2023 11:32:08	B788	D	83,1	93,9	98,8
2	17-11-2023 13:43:21	E195	D	69,2	70,1	78,2
2	17-11-2023 14:34:09	B77W	D	71,3	73,2	84,1
2	17-11-2023 15:31:11	E75S	D	70,3	71,4	80,7
2	17-11-2023 16:12:40	A321	D	70,3	71,9	82,8
2	17-11-2023 17:49:50	B788	D	68,9	70,2	80,6
2	17-11-2023 17:59:34	A320	D	69,1	71,7	84,6
2	17-11-2023 18:14:36	B738	D	68,7	70,8	82,4
2	17-11-2023 18:46:11	E75S	D	69,5	71,4	81,0
2	18-11-2023 06:52:27	A21N	D	67,7	70,7	78,1
2	18-11-2023 07:14:46	A321	D	71,4	73,0	83,2
2	18-11-2023 10:33:46	E190	D	70,2	71,8	79,7
2	18-11-2023 15:50:41	E170	D	71,2	72,9	82,3
2	18-11-2023 20:26:46	A321	D	69,9	71,7	83,8
2	19-11-2023 06:02:09	C17	D	71,9	73,3	83,6
2	19-11-2023 13:57:12	B77W	D	68,8	70,5	79,6
2	19-11-2023 15:02:42	E195	D	70,7	72,6	80,2
2	19-11-2023 15:40:30	E75S	D	70,6	71,2	80,1
2	19-11-2023 18:26:48	E195	D	70,3	71,9	80,7
2	19-11-2023 19:11:27	B738	D	66,9	67,8	76,9
2	19-11-2023 19:13:41	B762	D	68,3	70,0	79,1
2	19-11-2023 19:25:44	E75S	D	68,3	70,1	79,1
2	19-11-2023 20:33:41	A21N	D	68,2	69,3	78,2
2	20-11-2023 12:39:11	E75S	А	71,4	76,7	89,9
2	20-11-2023 19:19:11	B789	D	70,1	72,3	82,1
2	21-11-2023 08:44:24	B738	D	72,8	74,8	83,5
2	21-11-2023 13:56:22	E195	D	71,2	72,9	80,7
2	21-11-2023 15:37:27	E170	D	68,8	70,0	78,8
2	22-11-2023 11:30:04	A21N	A	72,7	74,3	83,1
2	23-11-2023 06:20:43	E195	A	70,7	73,4	81,1
2	23-11-2023 06:36:48	B38M	A	71,7	76,0	84,0
2	23-11-2023 08:07:31	E190	A	72,4	76,0	83,5
2	23-11-2023 08:21:33	E190	A	76,5	79,6	87,6
2	23-11-2023 08:55:57	E75S	Α	69,0	73,7	81,8
2	23-11-2023 09:04:06	E195	A	70,5	75,0	84,9
2	23-11-2023 09:10:41	E190	A	75,4	80,1	86,2
2	23-11-2023 09:14:36 23-11-2023 09:16:15	E195	Α	73,1	76,2	86,2
		E170	Α	69,3	72,2	81,1
2	23-11-2023 09:19:22 23-11-2023 09:28:26	A21N E75S	Α	70,8 69,6	73,2 73,0	80,8 82,8
2	23-11-2023 09:28:26	E170	Α	72,9	76,0	84,4
۷	23-11-2023 09.31.01	E1/U	A	12,9	70,0	04,4

Mr. nunktu				L _{Aeq}	L _{Amax}	L _{AE}
Nr punktu pomiarowego	Data i godz. zdarzenia	Samolot	Operacja*	[dB]	[dB]	[dB]
2	23-11-2023 09:32:44	E75S	۸	70,1	74,1	79,1
2	23-11-2023 10:04:42	C56X	A A	70,1	75,0	83,7
2	23-11-2023 10:04:42	E190	A	70,0	71,8	79,0
2	23-11-2023 10:59:18	B738	A	71,4	73,8	83,2
2	23-11-2023 11:08:10	E195	A	68,8	73,0	81,1
2	23-11-2023 11:26:01	A320	A	68,8	73,0	79,9
2	23-11-2023 11:30:27	B789	A	74,0	77,7	84,0
2	23-11-2023 11:45:46	E75S	A	77,8	80,8	86,9
2	23-11-2023 11:55:21	A321	A	68,4	72,3	78,9
2	23-11-2023 11:56:37	E190	A	73,4	76,7	84,8
2	23-11-2023 12:01:00	E190	A	71,7	74,2	82,1
2	23-11-2023 12:07:34	E75S	A	70,5	75,9	84,1
2	23-11-2023 12:18:13	E195	A	70,1	71,9	80,1
2	23-11-2023 12:18:56	LJ75	A	75,4	78,5	85,8
2	23-11-2023 12:22:19	E195	A	72,0	75,4	82,8
2	23-11-2023 12:47:44	B38M	A	68,5	71,1	78,5
2	23-11-2023 12:49:52	E170	A	70,5	72,9	80,9
2	23-11-2023 12:58:40	E190	A	70,3	76,4	84,2
2	23-11-2023 13:03:07	B38M	A	70,6	74,2	81,0
2	23-11-2023 13:05:39	B788	A	72,3	74,5	83,5
2	23-11-2023 13:39:46	E170	A	68,4	70,6	77,4
2	23-11-2023 13:41:57	B738	A	72,1	76,4	82,9
2	23-11-2023 13:52:32	E75S	A	72,3	76,4	81,3
2	23-11-2023 13:55:25	A321	A	75,0	77,9	86,1
2	23-11-2023 13:59:32	A321	A	68,0	70,4	77,1
2	23-11-2023 14:02:15	E195	A	74,6	78,2	84,2
2	23-11-2023 14:09:03	A20N	Α	71,4	75,9	82,2
2	23-11-2023 15:00:41	E195	A	71,5	74,4	80,5
2	23-11-2023 15:03:59	E55P	A	71,7	77,3	85,9
2	23-11-2023 15:09:36	E75S	A	71,8	75,3	83,0
2	23-11-2023 15:19:48	B738	A	69,4	72,9	80,6
2	23-11-2023 15:24:25	E195	Α	72,4	76,4	83,5
2	23-11-2023 15:26:46	E195	Α	72,6	76,2	84,6
2	23-11-2023 15:33:17	E75S	Α	71,1	75,2	83,9
2	23-11-2023 15:35:23	E190	Α	71,7	75,8	85,6
2	23-11-2023 15:37:43	E170	A	76,5	79,7	87,3
2	23-11-2023 15:39:24	E195	A	73,1	75,3	83,1
2	23-11-2023 15:42:13	E190	Α	71,5	76,0	82,9
2	23-11-2023 15:44:08	E190	A	78,0	86,8	93,8
2	23-11-2023 15:47:01	E75S	A	76,2	81,3	89,8
2	23-11-2023 15:50:01	E195	A	73,3	77,5	82,8
2	23-11-2023 15:51:58	A21N	A	78,7	80,3	87,7
2	23-11-2023 15:55:23	E75S	A	70,4	76,4	84,5
2	23-11-2023 16:02:36	E195	A	74,6	77,7	85,8
2	23-11-2023 16:10:21	E295	A	72	75,1	84,1
2	23-11-2023 16:15:05	B38M	A	73,3	78,7	90,5
2	23-11-2023 16:21:34	B788	A	76,5	81,4	86,9
2	23-11-2023 16:28:43	EA50	A	68,8	76,4	83,3
2	23-11-2023 16:31:51	E190	A	72,1	76,7	85,3
2	23-11-2023 16:35:53	A332	A	77,6	82	92,1
2	23-11-2023 16:39:28	B38M	А	75,9	80,6	87,4
2	23-11-2023 16:41:19	B738	A	72,4	77,8	83,2
2	23-11-2023 16:44:08	E190	A	74,4	80,7	90,9
2	23-11-2023 17:06:48	A21N	A	73,5	77,1	83,5
2	23-11-2023 17:12:53	E75S	A	72,5	78,3	87,4
2	23-11-2023 17:19:34	A321	A	73,4	75,3	82,4
2	23-11-2023 17:23:53	A21N	A	73	76,7	82,5

Nr punktu				L _{Aeq}	L _{Amax}	L _{AE}
pomiarowego	Data i godz. zdarzenia	Samolot	Operacja*	[dB]	[dB]	[dB]
2	23-11-2023 17:44:44	C56X	A	74,8	78,7	86,9
2	23-11-2023 17:51:38	E170	A	74,8	75,7	81,8
2	23-11-2023 17:57:51	A320	A	69,3	72,9	84
2	23-11-2023 18:05:42	E75S	A	72,3	74,7	82,8
2	23-11-2023 18:20:00	E170	A	72,8	79,3	90,7
2	23-11-2023 18:29:04	A320	A	68,1	79,5	78,1
2	23-11-2023 18:31:12	E75S	A	74,7	82,6	92,9
2	23-11-2023 18:41:35	E75S	A	73	77,2	86,3
2	23-11-2023 18:46:03	E195	A	71,4	75,8	84,1
2	23-11-2023 18:47:45	B738	A	68,7	73,9	83,9
2	23-11-2023 18:50:11	A320	A	69,7	74,7	81,8
2	23-11-2023 18:53:49	C525	A	75,6	81,6	93,1
2	23-11-2023 18:59:20	E195	A	70,3	75,5	82,6
2	23-11-2023 19:06:07	E195	A	71,7	74,1	81,7
2	23-11-2023 19:07:58	E195	A	72,5	78,1	88,1
2	23-11-2023 19:09:56	E195	A	76,0	80,9	92,0
2	23-11-2023 19:11:47	E75S	A	70,0	74,0	81,3
2	23-11-2023 19:11:47	B38M	A	70,1	74,0	88,5
2	23-11-2023 19:16:33	E195	A	74,1	78,8	86,4
2	23-11-2023 19:22:34	CL35	A	70,5	74,9	82,9
2	23-11-2023 19:25:58	E195	A	73,0	80,2	88,2
2	23-11-2023 19:28:31	E75S	A	74,8	80,8	86,0
2	23-11-2023 19:30:09	B788	A	73,2	74,6	82,7
2	23-11-2023 19:33:01	B738	A	69,5	72,4	79,5
2	23-11-2023 19:41:46	E170	A	74,1	79,5	89,0
2	23-11-2023 19:44:42	B38M	A	70,7	76,1	83,5
2	23-11-2023 19:54:48	E50P	A	74,5	77,9	85,9
2	23-11-2023 20:12:38	B738	A	71,9	76,8	85,7
2	23-11-2023 20:24:16	B738	A	72,3	78,3	86,3
2	23-11-2023 20:40:43	E75S	A	70,8	76,9	84,9
2	23-11-2023 20:49:06	B38M	A	74,1	79,2	88,1
2	23-11-2023 20:51:17	E190	A	71,4	75,7	85,3
2	23-11-2023 20:53:55	E170	A	73,9	79,4	86,9
2	23-11-2023 20:56:18	E190	A	72,3	79,5	89,8
2	23-11-2023 20:58:37	A320	Α	69,3	75,8	80,1
2	23-11-2023 20:58:56	A320	A	78,2	83,5	93,2
2	23-11-2023 21:00:46	E195	A	70,7	75,2	81,1
2	23-11-2023 21:02:52	E75S	Α	71,6	75,2	83,7
2	23-11-2023 21:18:50	E195	A	72,1	76,7	87,3
2	23-11-2023 21:20:12	E195	A	68,1	71,1	77,7
2	23-11-2023 21:22:23	B38M	A	68,1	71,5	78,5
2	23-11-2023 21:37:16	A321	A	70,2	71,9	79,7
2	23-11-2023 21:41:43	E190	A	71,4	75,1	83,7
2	23-11-2023 21:44:42	B738	Α	68,4	71,9	78,0
2	23-11-2023 21:53:27	B738	A	71,7	76,1	82,5
2	23-11-2023 21:57:13	BCS3	Α	72,3	75,3	84,0
2	24-11-2023 08:16:19	E190	A	72,5	75,4	83,7
2	24-11-2023 08:25:04	E75S	Α	70,1	73,1	79,6
2	24-11-2023 08:37:52	E75S	Α	74,3	77,7	85,1
2	24-11-2023 08:51:17	E170	Α	73,4	77,0	84,8
2	24-11-2023 09:03:34	E195	Α	70,4	74,8	80,8
2	24-11-2023 09:08:57	E195	А	69,3	74,5	81,9
2	24-11-2023 09:13:18	E195	A	74,4	79,5	87,6
2	24-11-2023 09:23:26	E195	A	71,0	74,1	81,4
2	24-11-2023 09:26:11	E75S	A	75,4	81,7	89,0
2	24-11-2023 09:27:41	E195	A	70,9	73,3	80,9
2	24-11-2023 09:31:58	A21N	A	68,8	71,1	78,8
۷	Z 1- 11-2023 03.31.30	MZIIN	Λ	00,0	11,1	70,0

Nr punktu	Doto i godz zdorzonia	Samolot	Operacja*	L _{Aeq}	L _{Amax}	L _{AE}
pomiarowego	Data i godz. zdarzenia	Samolot		[dB]	[dB]	[dB]
2	24-11-2023 09:37:30	B738	Α	70,3	74,4	83,9
2	24-11-2023 09:52:24	E75S	Α	71,7	74,9	84,7
2	24-11-2023 09:53:44	E190	Α	70,6	74,4	87,4
2	24-11-2023 09:57:01	B789	Α	71,4	75,1	85,0
2	24-11-2023 10:55:19	E195	Α	75,9	80,4	85,5
2	24-11-2023 10:58:01	A20N	Α	72,8	78,2	88,3
2	24-11-2023 11:00:35	A321	Α	76,8	82,3	91,3
2	24-11-2023 11:08:37	M28	Α	77,8	83,9	90,8
2	24-11-2023 11:13:20	B738	Α	73,6	78,8	85,1
2	24-11-2023 11:15:08	B77W	Α	73,4	77,1	87,7
2	24-11-2023 11:17:59	E75S	Α	72,4	77,5	83,2
2	24-11-2023 11:36:14	B789	Α	71,4	74,2	82,8
2	24-11-2023 11:39:00	A321	Α	75,9	80,3	85,5
2	24-11-2023 11:58:54	A21N	Α	70,5	73,9	82,0
2	24-11-2023 12:07:22	E75S	Α	69,6	71,8	80,8
2	24-11-2023 12:20:33	E75S	Α	74,9	78,7	84,9
2	24-11-2023 12:32:48	E75S	Α	70,0	73,5	79,5
2	24-11-2023 12:46:51	E170	Α	72,0	77,4	90,1
2	24-11-2023 12:48:35	E170	Α	71,0	73,7	85,8
2	24-11-2023 12:59:42	E170	Α	71,5	76,4	85,1
2	24-11-2023 13:24:25	B38M	Α	72,7	76,4	83,8
2	24-11-2023 13:43:32	E75S	Α	72,4	77,8	85,4
2	24-11-2023 13:45:38	F900	Α	71,2	74,6	82,0
2	24-11-2023 15:32:28	B738	Α	69,2	71,4	79,2
2	24-11-2023 17:29:31	PC12	Α	77,2	82,1	90,0
2	24-11-2023 21:34:55	A321	Α	85,6	96,9	102,2
2	25-11-2023 11:59:42	E190	Α	68,4	69,6	80,7
2	26-11-2023 13:26:57	B789	Α	69,1	72,8	80,2
2	26-11-2023 14:48:17	B738	Α	72,9	76,5	85,9
2	26-11-2023 21:04:43	E35L	Α	67,7	69,4	77,7
2	28-11-2023 07:38:34	B738	D	71,8	73,2	84,1
2	29-11-2023 07:43:36	C295	Α	71,8	77,7	85,7
2	29-11-2023 08:26:55	E195	Α	69,9	74,9	80,7
2	30-11-2023 11:53:55	B737	Α	70,3	71,6	79,8
2	30-11-2023 17:59:53	B350	Α	69,1	70,7	79,5
2	30-11-2023 18:31:47	E170	Α	79,6	90,1	95,5

Zestawienie zdarzeń akustycznych spowodowanych przelotami statków powietrznych w porze nocy (przedział czasu pomiędzy godz. 22.00 – 06.00)

Nr punktu	T Data Longy Znarzenia	Samolot	Operacja*	L _{Aeq}	L _{Amax}	L _{AE}
pomiarowego	Data i godz. Zdarzenia	Samolot	ot Operacja	[dB]	[dB]	[dB]
2	01-11-2023 23:13:23	E75S	D	64,3	65,8	74,8
2	02-11-2023 22:24:08	B738	D	63,8	66,0	75,3
2	02-11-2023 23:03:08	E75S	D	64,7	67,5	76,8
2	03-11-2023 23:04:47	E195	D	67,4	70,6	79,7
2	03-11-2023 23:07:54	E75S	D	63,8	66,8	75,3
2	05-11-2023 22:41:41	A321	Α	64,4	65,3	73,5
2	06-11-2023 05:32:02	A306	Α	65,1	70,9	81,6
2	06-11-2023 05:46:32	A21N	Α	63,5	65,7	75,6
2	06-11-2023 05:50:09	A332	Α	63,6	65,9	78,9
2	06-11-2023 23:43:21	A21N	Α	66,7	69,6	79,0
2	07-11-2023 05:30:49	A306	Α	64,4	66,3	73,9
2	07-11-2023 05:40:59	B763	Α	63,0	64,7	72,5
2	07-11-2023 22:08:48	A21N	Α	70,0	74,0	83,6

Nr punktu				L _{Aeq}	L _{Amax}	LAE
pomiarowego	Data i godz. zdarzenia	Samolot	Operacja*	[dB]	[dB]	[dB]
2	07-11-2023 22:16:54	A320	Α	65,4	68,0	76,2
2	07-11-2023 22:34:38	A321	Α	67,7	70,7	80,2
2	08-11-2023 05:18:02	A332	Α	65,0	67,4	79,4
2	08-11-2023 05:39:45	A306	Α	66,5	69,8	80,5
2	08-11-2023 05:43:47	B763	Α	64,2	65,1	74,6
2	08-11-2023 22:02:13	B738	Α	62,9	64,8	74,7
2	08-11-2023 22:04:11	B789	Α	64,3	66,6	73,3
2	09-11-2023 22:29:50	B738	D	68,5	71,6	83,1
2	09-11-2023 23:12:48	E75S	D	66,7	68,4	79,2
2	10-11-2023 23:23:07	E75S	D	66,8	69,2	80,4
2	10-11-2023 23:26:08	E190	D	69,1	72,3	82,9
2	11-11-2023 22:45:44	B738	Α	64,4	65,2	74,0
2	12-11-2023 22:05:42	A321	Α	65,0	66,4	74,1
2	12-11-2023 22:12:01	A321	Α	63,5	64,3	72,5
2	13-11-2023 00:17:28	B737	Α	63,6	65,8	75,1
2	13-11-2023 05:29:45	A306	А	64,4	66,6	79,3
2	13-11-2023 05:45:28	A332	А	64,2	68,7	79,5
2	13-11-2023 22:00:34	A21N	А	65,5	66,7	75,0
2	13-11-2023 22:04:11	GLF5	Α	66,2	69,2	76,2
2	13-11-2023 23:04:10	E75S	D	64,5	66,2	77,5
2	14-11-2023 22:06:09	B738	Α	64,7	68,1	75,9
2	15-11-2023 04:27:09	C295	Α	63,5	64,3	72,6
2	15-11-2023 05:58:51	B763	Α	66,2	68,3	83,3
2	15-11-2023 23:24:05	A21N	Α	67,0	71,9	80,0
2	16-11-2023 05:30:36	B789	Α	65,3	68,9	78,9
2	16-11-2023 05:37:23	A306	Α	64,0	66,4	77,8
2	16-11-2023 05:49:17	B763	Α	63,6	64,4	75,0
2	16-11-2023 22:11:27	B738	D	69,8	73,4	84,1
2	16-11-2023 23:10:55	E195	D	65,2	67,1	76,6
2	16-11-2023 23:17:07	E75S	D	66,9	69,2	80,6
2	17-11-2023 23:27:41	E195	D	68,1	70,8	80,4
2	17-11-2023 23:32:13	E195	D	69,0	72,4	82,6
2	17-11-2023 23:47:28	B789	D	68,1	70,7	81,5
2	17-11-2023 23:53:43	E75S	D	64,7	65,6	75,4
2	18-11-2023 00:28:35	B38M	D	65,8	68,1	79,0
2	19-11-2023 23:21:35	E75S	D	66,3	68,0	77,4
2	20-11-2023 23:24:16	E75S	D	67,7	70,0	80,3
2	20-11-2023 23:26:04	B38M	D	66,3	68,2	77,0
2	21-11-2023 23:31:43	E75S	D	66,3	68,1	78,3
2	22-11-2023 22:22:24	E195	А	65,2	67,2	74,3
2	22-11-2023 23:06:09	A21N	Α	64,8	66,1	73,8
2	23-11-2023 03:07:35	A21N	Α	63,8	66,7	74,6
2	23-11-2023 05:04:42	B789	А	67,3	70,4	79,6
2	23-11-2023 05:33:59	B763	Α	65,2	69,6	81,5
2	23-11-2023 05:37:50	A306	Α	64,7	67,6	78,5
2	23-11-2023 22:01:46	B38M	А	65,6	67,7	78,0
2	23-11-2023 22:04:05	E195	А	64,4	65,7	73,9
2	23-11-2023 22:06:49	E75S	А	65,9	68,0	82,3
2	23-11-2023 22:09:33	E75S	А	67,6	71,9	79,1
2	23-11-2023 22:10:57	B38M	А	65,2	66,5	76,3
2	23-11-2023 22:13:13	E75S	А	64,8	68,1	79,2
2	23-11-2023 22:23:19	B738	А	65,3	67,7	80,7
2	23-11-2023 22:25:13	E195	А	65,0	67,1	75,8
2	23-11-2023 22:37:08	A321	А	64,6	66,7	75,0
2	24-11-2023 02:27:35	A321	А	68,5	72,7	81,7
2	24-11-2023 03:59:34	B788	А	63,8	67,2	78,1
2	24-11-2023 05:41:59	B753	А	63,9	66,5	73,9

Nr punktu pomiarowego	Data i godz. zdarzenia	Samolot	Operacja*	L _{Aeq}	L _{Amax}	L _{AE} [dB]
2	24-11-2023 05:55:56	A306	А	65,4	73,2	80,8
2	24-11-2023 22:06:36	B38M	А	64,1	66,2	73,6
2	25-11-2023 04:29:41	B789	Α	62,9	64,2	72,9
2	26-11-2023 04:26:51	B789	Α	63,2	66,2	75,8
2	26-11-2023 22:09:47	B38M	Α	63,7	65,0	72,7
2	26-11-2023 22:11:57	E195	Α	63,7	64,5	72,7
2	27-11-2023 05:31:09	A306	Α	63,6	66,4	77,1
2	28-11-2023 22:00:43	E170	Α	63,5	64,3	73,0
2	28-11-2023 22:26:56	A320	Α	63,9	64,4	72,9
2	29-11-2023 05:51:11	A332	Α	63,3	65,3	77,6
2	29-11-2023 05:58:54	B763	Α	65,9	68,5	82,7
2	29-11-2023 22:01:18	BCS3	Α	67,1	72,9	79,4
2	29-11-2023 22:12:11	A306	D	65,5	67,6	74,6
2	29-11-2023 23:14:27	E75S	D	66,8	68,5	80,0
2	01-12-2023 05:19:53	B763	Α	64,2	65,1	74,7
2	01-12-2023 05:40:48	A332	Α	63,9	65,3	77,7

LEGENDA

- Samolot typ statku powietrznego
- Operacja: A lądowanie, D start, P przelot
- L_{Aeq} równoważny poziom dźwięku dla zdarzenia akustycznego
- L_{Amax} maksymalny poziom dźwięku dla zdarzenia akustycznego
- LAE ekspozycyjny poziom dźwięku dla zdarzenia akustycznego
- Kolorem niebieskim oznaczono zdarzenia akustyczne, które miały miejsce w czasie, gdy nie były spełnione warunki meteorologiczne¹, a także wystąpiły zakłócenia od innych źródeł hałasu.

WARUNKI METEOROLOGICZNE DLA LOTNISKA:

Ustalane na wysokości: 106,51 m n.p.m

Wielkości ustalane	Wartości maksymalne	Wartości minimalne	Wartości średnie	
Wielkosci ustalane	w danym miesiącu	w danym miesiącu	miesięczne	
Temperatura [°C]	14,3	-6,8	3,9	
Wilgotność względna [%]	99	54	84	
Ciśnienie atmosferyczne [hPa]	1015,5	974,1	993,2	

¹ Warunki meteorologiczne określone w punkcie D "Referencyjnej metodyki wykonywania ciągłych pomiarów poziomów hałasu wprowadzanego do środowiska przez starty, lądowania i przeloty statków powietrznych w związku z eksploatacją lotnisk oraz kryteria lokalizacji punktów pomiarowych" (Załącznik nr 1 do rozporządzenia Ministra Środowiska z dnia 16 czerwca 2011 r. w sprawie wymagań w zakresie prowadzenia pomiarów poziomów substancji lub energii w środowisku przez zarządzającego drogą, linią kolejową, linią tramwajową, lotniskiem lub portem).

Miesięczna róża wiatrów

